

Р. Р. ГАЛСТЯН, С. Р. МЕСЧЯН

## ИССЛЕДОВАНИЕ КОМПРЕССИОННОЙ ПОЛЗУЧЕСТИ ГЛИНИСТЫХ ГРУНТОВ С УЧЕМОМ ТЕМПЕРАТУРНЫХ ЭФФЕКТОВ

1. Известно [1, 2], что деформацию ползучести грунта с учетом температурных воздействий можно определить из следующего выражения:

$$I_{\text{av}}(t - \theta, T) = C_s(t - \theta, T) F(z_1, T) \quad (1)$$

где  $C_1(t=0, T)$  — зависящая от температуры  $T$  мера компрессионной ползучести;  $F(z_1, T)$  — зависящая от температуры функция напряжений, учитывающая нелинейную зависимость между напряжениями  $z_1$  и деформациями ползучести  $l_{\alpha}$  при заданной постоянной температуре  $T = \text{const}$ .

Функцию напряжений  $F(z_1, T)$  можно, в частности, представить в виде степенной зависимости

$$F(z_i, T) = z_i^n(T) \quad (2)$$

а меру компрессионной термопластики в виде следующего выражения:

$$C_b(t-\tau_0, T) = C_b(t-\tau_0, T=1) C F_1(T, \tau_0=1) \quad (3)$$

где  $n(T)$  — зависящая от температуры функция;  $C_b(t=0)$ ,  $T=1^\circ C$  — мера компрессионной термоползучести при условной температуре  $T=1^\circ C$ ;  $F_1(T, \varepsilon_1=1)$  — функция температуры, учитывающая нелинейную зависимость между деформациями ползучести  $I_{\text{хв}}$  и температурой, удовлетворяющая условию:  $F_1(T=1^\circ C, \varepsilon_1=1)=1$ ;  $t$  — время;  $\theta$  — текущая координата времени.

Меру компрессионной ползучести при  $T = 1\text{ }^{\circ}\text{C}$  и функцию температуры  $F_1(T, z_1 = 1)$  можно, в частности, представить в виде следующих степенных функций:

$$C_s(t-\vartheta, T-1|C) = A(t-\vartheta)^m \quad (4)$$

$$F_1(T_{\gamma^*} z_1 = 1) = T^*$$
(5)

где  $A$ ,  $m$ ,  $n$  — определяемые из опыта параметры.

Для определения выражения (4) из опыта надо получить функцию температуры (5) и меру ползучести  $C(t - \tau, T)$  при некоторой постоянной температуре, отличной от  $T = 1\text{ C}$ :

$$C_k(t-\theta, T=1^\circ C) = \frac{C_k(t-\theta, T)}{F_1(T, z=1)} \quad (6)$$

где  $F_1(T, z_1=1)$  — функция температуры при рассматриваемой постоянной температуре  $T$ .

В силу выражений (4) и (5) или (6) зависимость (3) примет следующий вид:

$$C_k(t-\theta, T) = A(t-\theta)^{\alpha} T^{\beta}. \quad (7)$$

Таким образом, учет температурных эффектов при исследовании ползучести обычных глинистых грунтов сводится к определению меры термоползучести (3) или (7) и функции напряжений (2). Причем, функции напряжений  $F(z_1, T)$  определяются из семейств кривых ползучести  $I_{\text{пл}} - z_1$  [2], построенных при различных значениях постоянной температуры, а  $C_k(t-\theta, T)$  из семейства кривых мер термоползучести, построенного по кривым  $z_1 = 1$ , определенным при различных  $T = \text{const}$ .

Следует особо отметить, что приведенные выше выражения справедливы только для положительных температур (исключая  $T = 0^\circ C$ ).

Семейства кривых ползучести (фиг. 1) можно получить непосредственным испытанием нескольких серий образцов-близнецов при различных постоянных температурах  $T = \text{const}$ . Для указанной цели можно воспользоваться также практическим методом, разработанным одним из авторов этой статьи [3], или же методом обоих авторов [2]. Поскольку практические методы существенно уменьшают количество испытываемых образцов (без существенного ущерба точности определения указанных выше соотношений) при выполнении изложенного ниже исследования нами использованы эти оба практических метода.

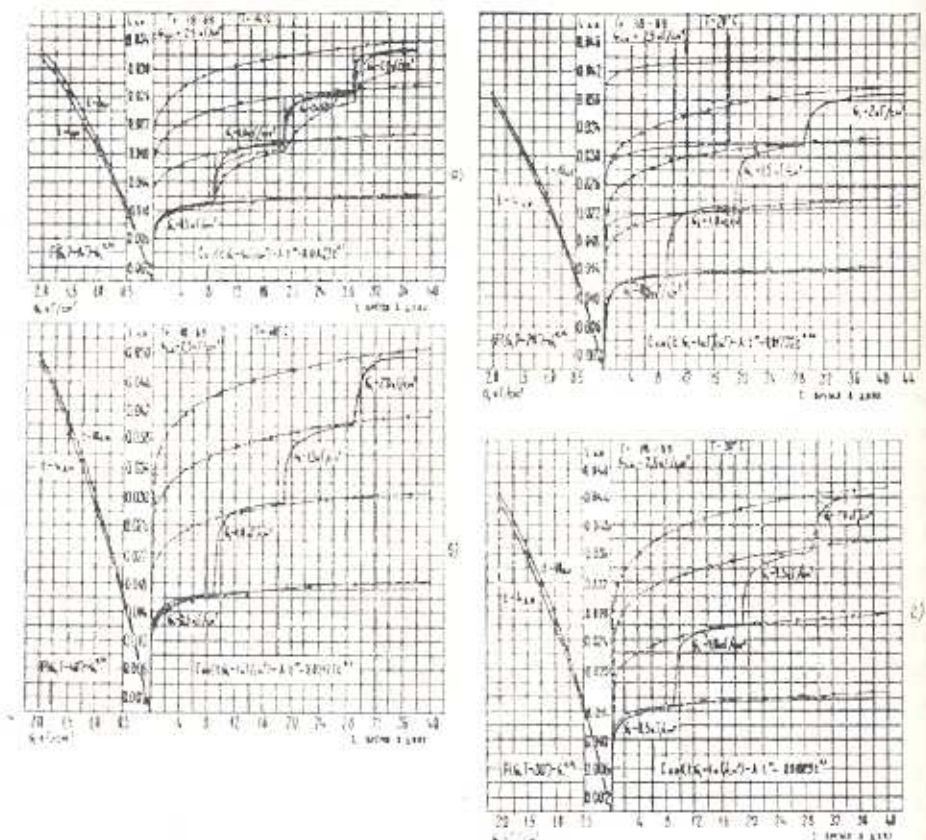
Не вдаваясь в подробности отмеченных выше практических методов, отметим только, что в первом случае [3] при каждой постоянной температуре испытываются две пары образцов-близнецов (двухкратная повторность опыта), а во втором случае [2] — две пары образцов-близнецов при каждом заданном напряжении. Причем при каждой постоянной температуре пара образцов-близнецов испытывается при постоянном напряжении, а другая пара — при ступенчато возрастающем напряжении. Точно также во втором случае [2], при каждом постоянном напряжении, пара образцов-близнецов испытывается при постоянной, а другая пара — при ступенчато возрастающей температуре.

Как будет показано ниже, использование обоих практических методов при решении одного и того же вопроса позволило нам проверить и оценить их правомочность для указанной цели.

В этой статье рассматриваются результаты комплексного исследования компрессионной термоползучести обычных (немерзлых) водонасыщенных глинистых грунтов естественного сложения.

Опыты проведены в компрессионных приборах модели М-2 [3] по методам, подробно изложенным в [3, 2]. Исследованы два различных глинистых грунта естественного сложения после их полного водонасыщения и предварительного уплотнения бытовым давлением  $\sigma_{10}$ .

Характеристики основных физических свойств исследованных грунтов приведены в табл. 1.



Фиг. 1.

Таблица 1

Но д н г р у т с т а	При име ни е	$\gamma_{\text{длительной}} \text{ вес}$ $P_{\text{дл}} = P_{\text{дл}}(t_{\text{дл}})$	Объемный вес $P_{\text{дл}} (\text{t})$		Влажность, % (W)	Пределы пла стичности, %		Сила пла стичности (W <sub>p</sub> )	Консистенция (B)	Коэф. приро дости (z)
			предел текучести (W <sub>f</sub> )	предел раската нико (W <sub>c</sub> )		предел текучести (W <sub>f</sub> )	предел раската нико (W <sub>c</sub> )			
18-69	Глина крас ноцветная	2,73	1,83	26,82	52,18	33,18	19	0,33	0,885	
25-69	Глина про двинутая	2,64	1,76	33,08	52,63	23,34	29,29	0,33	1,00	

Образцы грунта 18-69 предварительно уплотнены бытовым давлением  $\sigma_{1,0} = 2.5 \text{ кГ/см}^2$ , а грунта 25-69 — давлением  $\sigma_{1,0} = 1 \text{ кГ/см}^2$  в течение 24 дней. Общее количество испытанных образцов-близнецом грунта 18-69 — 38, а грунта 25-69 — 40.

Рассмотрим результаты экспериментального определения выражений мер термоползучести  $C_v(t=0, T)$  и функций  $F(\sigma_1, T)$  исследованных грунтов в отдельности.

2. На фиг. 1 приведены результаты исследования ползучести грунта 18-69 (с учетом температурных эффектов), полученные по методу [3]. На правых частях графиков фиг. 1 сплошными линиями показаны экспериментальные кривые ползучести, полученные испытанием образцов-близнецом при четырех различных значениях постоянной температуры:  $T = 14^\circ, 20^\circ, 30^\circ$  и  $40^\circ \text{C}$ . При указанных температурах по одной паре образцов-близнецом испытаны под действием постоянной ( $\sigma_1 = 0.5 \text{ кГ/см}^2$ ) и переменной, изменяющейся ступенями, нагрузках. При температуре  $20^\circ \text{C}$  под действием постоянных нагрузок  $\sigma_1 = 0.5; 1.0; 1.5$  и  $2 \text{ кГ/см}^2$  испытаны восемь пар образцов-близнецом.

На левых частях графиков фиг. 1 приведены кривые  $l_{\text{сп}} = f(\sigma_1)$ , построенные по кривым ползучести ступенчато-возрастающих напряжений, показанным на правых частях тех же графиков [3]. Кривые описаны степенной функцией  $l_{\text{сп}} = B\sigma_1^n$ . В соответствии с этим функции напряжений представлены в виде выражения (2). Отметим, что при больших напряжениях кривая  $l_{\text{сп}} = f(\sigma_1)$  примет вид буквы  $S$  [3].

Выражения функции напряжений для исследованных четырех различных значений температуры приведены на левых частях графиков фиг. 1.

Экспериментальные кривые ползучести при  $\sigma_1 = 0.5 \text{ кГ/см}^2$  описаны степенными функциями вида (4), приведенными на правых частях рассматриваемых графиков. Выражения меры ползучести  $C_v(t=0, T)$  для каждой постоянной температуры определены по известному соотношению [1]:

$$C_v(t=0, T) = \frac{l_{\text{сп}}(t=0, T = \text{const}, \sigma_1 = 0.5 \text{ кГ/см}^2)}{F(\sigma_1 = 0.5 \text{ кГ/см}^2, T = \text{const})} \quad (8)$$

где  $l_{\text{сп}}(\dots)$  — определяемое из эксперимента выражение кривой ползучести для  $\sigma_1 = 0.5 \text{ кГ/см}^2$  и заданного значения температуры;  $F(\dots)$  — функция напряжений для тех же значений напряжения и температуры.

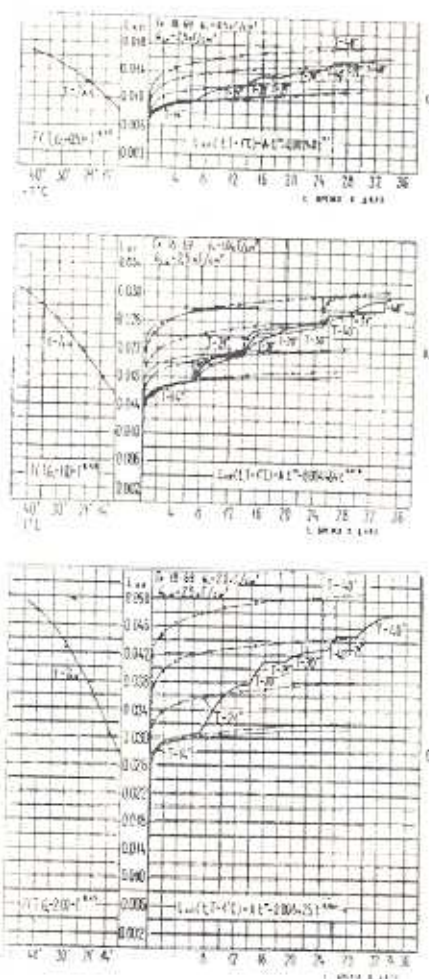
Например, для  $T = 14^\circ \text{C}$  будем иметь (фиг. 2):

$$C_v(t=0, T = 14^\circ \text{C}) = \frac{0.00854(t=0)^{0.1}}{0.5^{0.74}} = 0.01423(t=0)^{0.1} \quad (9)$$

На графиках фиг. 1 пунктирными линиями с треугольниками показаны кривые ползучести, построенные по выражению (1), для напря-

жений  $\sigma_1 = 1.0; 1.5$ ; и  $2.0 \text{ кг}/\text{см}^2$  с учетом определенных из эксперимента выражений  $F(\sigma_1)$  и  $C_k(t=0, T)$  (9).

Теперь ознакомимся с результатами определения  $C_k(t=0, T)$  и  $F(\sigma_1, T)$  испытанием двух пар образцов-близнецом при каждом заданном постоянном напряжении (фиг. 2) [2].



Фиг. 2.

На правых частях графиков фиг. 2 сплошными линиями показаны экспериментальные кривые ползучести, определенные при различных заданных постоянных напряжениях  $\sigma_1 = 0.5; 1.0$  и  $2.0 \text{ кг}/\text{см}^2$  при постоянной ( $T = 14^\circ\text{C}$ ) и переменной температуре, возрастающей ступенями:  $T = 14, 21, 30$  и  $40^\circ\text{C}$ . На левых частях указанных графиков приведены кривые  $l_{\infty} = f_2(T)$ , построенные по экспериментальным кривым ползучести переменной температуры.

Кривые  $l_{\infty} = f_2(T)$  описаны степенными функциями вида  $f_2 = B_1 T^n$ . В соответствии с этим функции температуры  $F_i(T)$ , характеризующие нелинейную зависимость между деформациями ползучести

и температурой (при заданном  $\sigma_1 = \text{const}$ ), представлены в виде степенных зависимостей

$$F_1(T) = T^{\eta_1} \quad (10)$$

приведенных на графиках фиг. 2.

Кривые ползучести при постоянной температуре  $T = 14^\circ\text{C}$  описаны степенными зависимостями вида (4), которые также приведены на графиках фиг. 2. Выражения деформации ползучести при условной температуре  $T = 1^\circ\text{C}$  для каждого заданного напряжения определены по выражению [2]:

$$l_{kn}(t=0, T=1^\circ\text{C}) = \frac{l_{kn}(t=0, T=14^\circ\text{C})}{F_1(T=14^\circ\text{C})} \quad (11)$$

где  $l_{kn}(t=0, T=14^\circ\text{C})$  — определяемое из опыта выражение деформации ползучести для  $T = 14^\circ\text{C}$  при заданном напряжении,  $F_1(T=14^\circ\text{C})$  — функция температуры при  $T = 14^\circ\text{C}$  при том же напряжении  $\sigma_1$ .

Например, при  $\sigma_1 = 0.5 \text{ кГ/см}^2$  имеем:

$$\begin{aligned} l_{kn}(t=0, T=1^\circ\text{C}; \sigma_1 = 0.5 \text{ кГ/см}^2) &= \frac{0.00826(t=0)^{0.1}}{14^{0.45}} \\ &= 0.0024(t=0)^{0.1} \end{aligned} \quad (12)$$

Используя полученные из опыта выражения (10) и (11) или (12), по соотношению

$$l_{kn}(t=0, T) = l_{kn}(t=0, T=1^\circ\text{C}) F_1(T) \quad (13)$$

построены кривые ползучести для температур, отличных от  $T = 14^\circ\text{C}$ . Кривые термоползучести, построенные по выражению (13) на правых частях графиков фиг. 2, показаны пунктирными линиями с крестиками.

На фиг. 3 приведены семейства кривых термоползучести, полученные трансформацией семейств кривых, показанных на фиг. 2. На левых частях этих графиков построены кривые  $l_{kn} = f_1(\sigma_1)$  для различных заданных значений постоянных температур  $T = \text{const}$ . По этим кривым определены функции напряжений  $F(\sigma_1)$  для различных  $T = \text{const}$ . Затем, как и в рассмотренном выше случае, по зависимости (8) определены выражения меры ползучести при каждой заданной температуре.

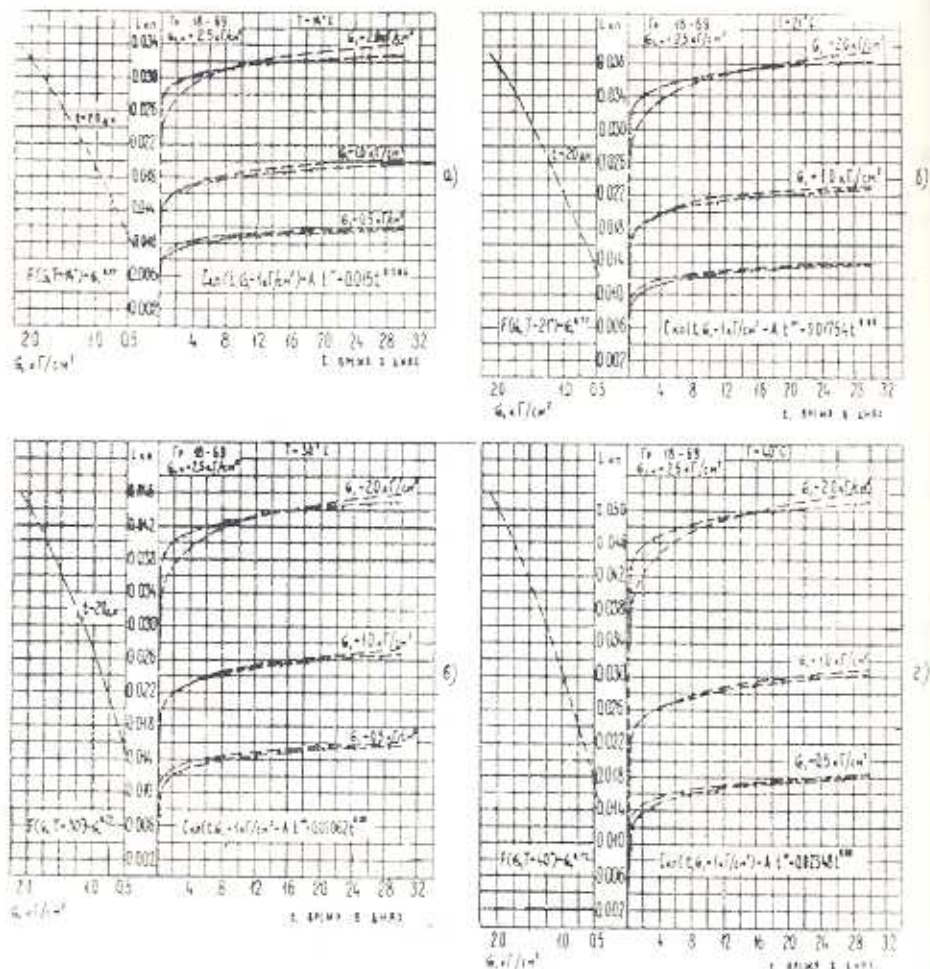
Из полученных экспериментальных данных следует (фиг. 1 и 3), что как в случае использования метода [3], так и метода [2] функции напряжений практически не зависят от температуры\*. В одном случае  $F(\sigma_1) = \sigma_1^{0.74}$ , а в другом —  $F(\sigma_1) = \sigma_1^{0.77}$ . Практически разны и показатели степеней напряжений, что свидетельствует о правомочности обоих использованных методов для определения как семейств кривых

\* Аналогичный результат был получен авторами в [1]. Независимость ползучести мерзлых грунтов от температуры установлена ранее [4].

термоползучести, так и функции напряжений. По результатам опытов можно принять, что средние значения функций напряжений для исследованного грунта равны

$$F(z_1) = z_1^{0.755} \quad (14)$$

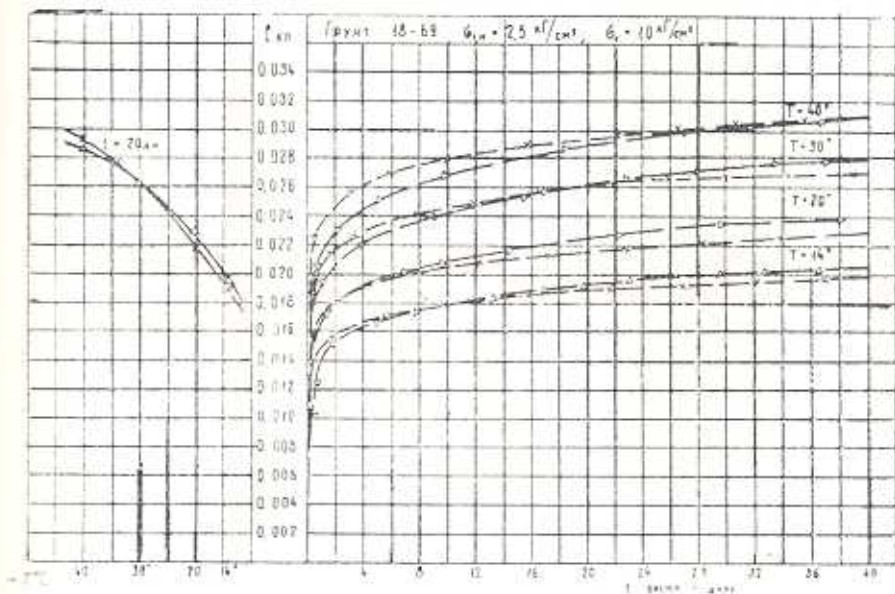
Как уже было отмечено выше, мера термоползучести (3) или (7) определяется из семейства кривых мер термоползучести. На фиг. 4 приведены семейства кривых мер термоползучести, построенные по кривым  $z_1 = 1$ , определенным при различных  $T = \text{const}$ . На правой



Фиг. 3.

части графика фиг. 4 пунктирумыми линиями с треугольниками показаны кривые, определенные по методу [3] (фиг. 1), а пунктирумыми линиями с крестиками — семейство кривых, определенное по [2], которое и совпадает с соответствующим семейством фиг. 2. На левой части указанного графика приведены кривые  $f_{kn} = f_k(T)$  для обоих семейств кривых мер термоползучести при  $t = 20$  дней.

Сопоставление кривых мер термоползучести обоих семейств показывает их достаточную близость. Это еще раз подтверждает правомочность указанных выше методов [3] и [2] для исследования термоползучести грунтов.



Фиг. 4

Для получения выражения меры термоползучести в виде (3) или (7) следует по кривой  $f_{20} = f_2(T)$  определить функцию температуры (5) и описать указанные семейства кривых мер термоползучести по выражению (7). Однако мы этого не будем делать, поскольку одно из этих семейств нами уже описано (фиг. 2) и результаты этого описания с полным основанием мы можем распространить на второе семейство.

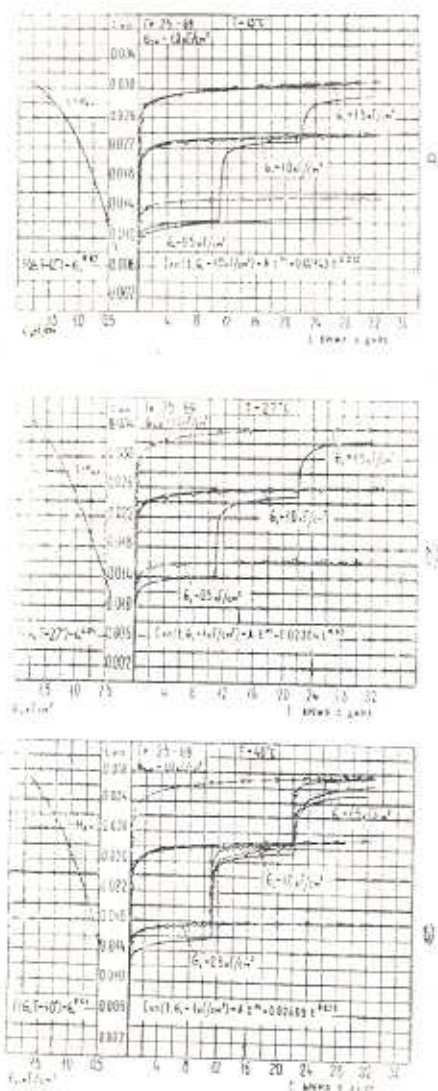
Из фиг. 2 имеем

$$C_0(t=0, T) = 0.0045(t=0)^{0.076} T^{0.15} \quad (15)$$

На фиг. 1а и 2б приведены результаты описания экспериментальных кривых ползучести, определенных при переменном напряжении (фиг. 1а) и переменной температуре (фиг. 2б), по физическим уравнениям теорий "старения" (пунктирные линии с точками), "упрочнения" (пунктирные линии с кружочками) и "наследственной ползучести" (пунктирные линии с галочками) [5, 6].

Из указанных графиков видно, что все три теории описывают процессы ползучести грунта как при переменном напряжении, так и при переменной температуре вполне удовлетворительно. Следовательно, все эти теории могут быть использованы для решения конкретных задач ползучести и термоползучести одномерного уплотнения водонасыщенных глинистых грунтов.

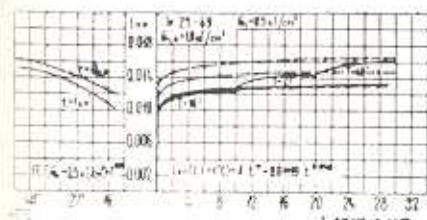
3. На фиг. 5 приведены результаты исследования ползучести грунта 25-69, полученные по методу [3]. Судя по полученным результатам, как и в рассмотренном выше случае (см. пункт 2), функция  $F(z_1)$  не зависит от температуры. Не зависит от температуры также показатель  $m$ .



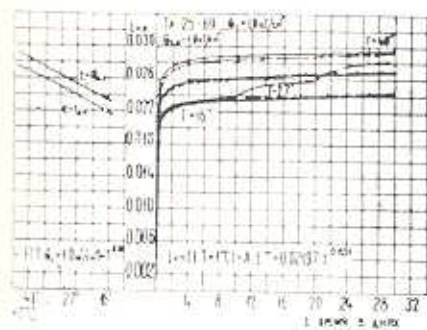
Фиг. 5.

На фиг. 6 приведены результаты исследования термоползучести грунта 25-69, полученные по методу [2], а на фиг. 7 — семейства кривых ползучести, полученные путем трансформации семейств кривых ползучести фиг. 6. Из фиг. 6 следует, что функция температуры (5) практически не зависит от напряжения  $\sigma_1$ , а из фиг. 7 видна независимость показателя  $m$  и функции  $F(z_1)$  от температуры при  $T = 27^\circ$  и

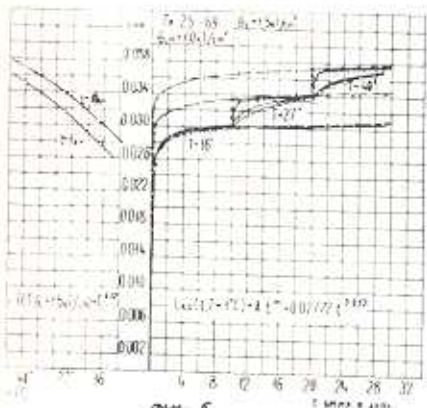
$40^{\circ}\text{C}$ . Параметр  $m$  и функция  $F(z_1)$ , определенные при  $T = 16^{\circ}\text{C}$  несколько отличаются от значений, определенных при  $T = 27^{\circ}$  и  $40^{\circ}\text{C}$ .



а)

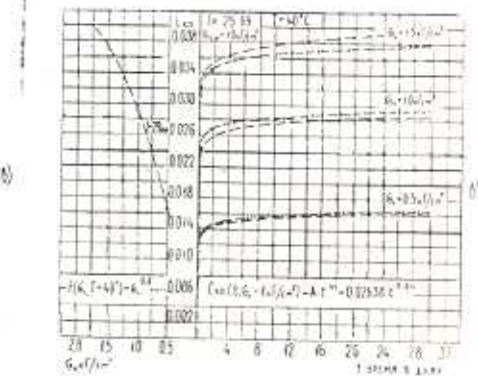
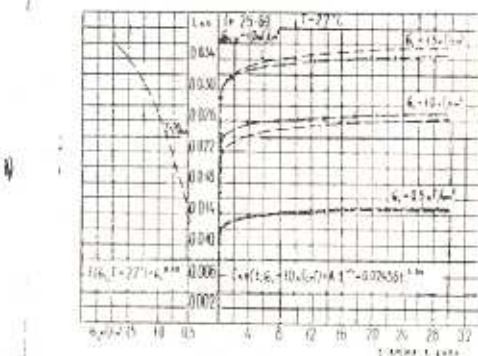
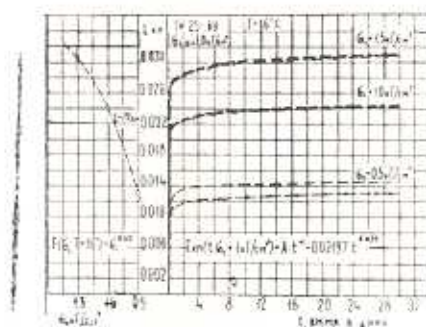


б)



в)

Фиг. 6.



Фиг. 7.

Как и в рассмотренном выше случае (фиг. 4), из сопоставления кривых мер термоползучести обоих семейств (фиг. 5 и 7) следует, что они достаточно близки. Это значит, что для определения характеристик термоползучести водонасыщенного глинистого грунта при компрессии можно использовать как метод [3], так и метод [2].

В соответствии с приведенными выше данными среднее значение параметра  $n$  выражения (2) можно считать равным  $n = 0.68$ . Это зна-

чит, что функцию напряжений можно определить по следующему выражению (фиг. 6 и 8):

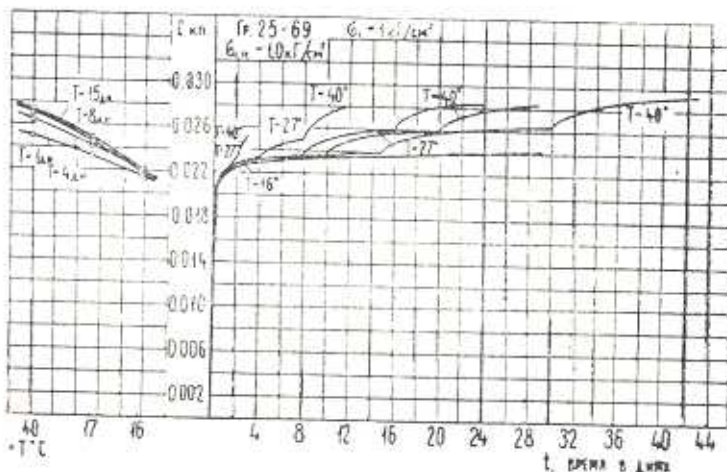
$$F(z_i) = z_i^{0.08} \quad (16)$$

Что же касается меры ползучести (7), то ее можно представить в следующем виде (фиг. 7):

$$C_s(t=0, T) = 0.02197 (t=0)^{0.05} T^{0.2} \quad (17)$$

Следует здесь особо отметить важность независимости функции напряжений  $F(z_i)$  от температуры. Если на основании приведенных нами экспериментов учесть это условие, то можно будет существенно сократить объем экспериментальных исследований — уменьшить количество испытанных образцов при определении показателей термоползучести грунта. В этом случае для определения  $F(z_i)$  можно будет ограничиться определением только одного семейства кривых ползучести по методу [3] при каком-либо постоянном значении температуры  $T = \text{const}$ . Что же касается определения меры термоползучести  $C_s(t=0, T)$ , то это можно будет сделать на основании семейства кривых термоползучести при единичном напряжении, определенном по методу [2].

Таким образом, термоползучесть грунта можно будет исследовать испытанием четырех (или четырех пар при двухкратном повторении опыта) образцов-близнецом.

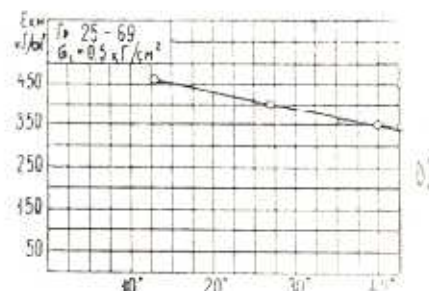
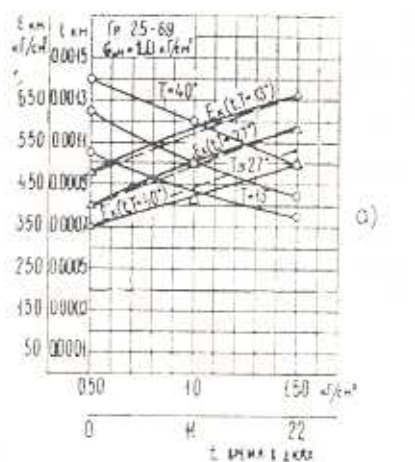


Фиг. 8.

По аналогии с рассмотренным выше случаем (см. пункт 2) на фиг. 5в и 6в приведены результаты описания экспериментальных кривых ползучести при переменных значениях напряжения  $z_i$  и температуры по теориям „старения“ (пунктир с точками), „упрочнения“ (пунктир с кружочками) и „наследственной ползучести“ (пунктир с галочками). Результаты идентичны.

На фиг. 8 приведены результаты исследования термоползучести грунта 25-19 при различных скоростях возрастания температуры. Испытано шесть пар образцов-близнецов, температуры которых, начиная от  $T = 16^{\circ}\text{C}$ , возрастали ступенями  $T = 27$  и  $40^{\circ}\text{C}$  через  $t = 1, 4, 8, 10$  и  $15$  дней.

Исследованием установлено, что чем больше интервал возрастания температуры, тем большее величина ползучести при данном фиксированном значении времени. Вместе с тем, конечные значения деформаций ползучести не зависят от скорости возрастания температуры.



Фиг. 9.

4. Для теории ползучести имеет важное значение определение мгновенных компрессионных деформаций  $I_{\text{m}}$ , их модулей  $E_{\text{m}}$  и установление зависимости  $E_{\text{m}}$  от  $T$ .

На фиг. 9а приведены кривые  $I_{\text{m}} - z_1$  и  $E_{\text{m}} - z_1$  для различных значений постоянной температуры. Мгновенные деформации фиксированы при приложении ступеней нагрузок  $z_1 = 0.5 \text{ кг}/\text{см}^2$  (фиг. 1 и 5) в случае определения характеристик термоползучести по методу [3].

Результаты опытов показывают существенное влияние температуры как на начальные значения модуля мгновенной деформации, так

и на характер их изменяемости в зависимости от приращения напряжения  $\varepsilon_1$ . Как и ранее [3], кривые  $E_{\text{кн}} = f_3(\varepsilon_1)$  могут быть описаны следующим экспоненциальным выражением:

$$E_{\text{кн}} = E_{\text{кн},0} + L(1 - e^{-\beta \Delta \sigma_1}) \quad (18)$$

где  $E_{\text{кн},0}$  — начальный мгновенный модуль компрессионной деформации,  $L$  и  $\beta$  — определяемые из опыта параметры;  $\Delta \sigma_1$  — полное приращение напряжения после приложения первой ступени нагрузки.

В рассматриваемом случае, как первое грубое приближение, кривые  $E_{\text{кн}} = f_3(\varepsilon_1)$  могут быть рассмотрены как подобные и поэтому можно принять, что от температуры зависит только  $E_{\text{кн},0}$ , а параметр  $\beta$  является постоянной величиной.

Тогда выражение (18) примет следующий вид:

$$E_{\text{кн}}(\varepsilon_1, T) = E_{\text{кн},0}(T) + L(1 - e^{-\beta \Delta \sigma_1}) \quad (19)$$

На фиг. 12а пунктирумыми линиями показаны кривые  $E_{\text{кн}} = f(\varepsilon_1, T)$ , определенные по выражению (19) при  $\beta = 0.21$ . Кривые изменяемости начального модуля мгновенных деформаций в зависимости от температуры приведены на фиг. 9б.

Институт математики и механики

АН Армянской ССР

Ереванский государственный университет

Поступила 15 II 1971

В. В. ЧИДИЗАШВИЛИ, Н. В. ГЕГЕАДЗЕ

ԱՐՄԵՆԻԱ ԲԱԱԾՈՎՔԻ ԿԱՐԳՐԵՎՈՒ ՍՈՎՖԻ ԱՌԱՐԴՅՈՎԱՅՐԻ ԹԱՅԱՅԻ

ՀԵՐԱՐԴԱՐԱԿԱՆ ԷՋԵԿՏԻՎԻ ՀԱՇՎԱՐԴԱՐԱԿԱՆ ՀԱՅԱՀԱՅԻ

### Ա մ ֆ ա փ ո ւ ժ

Եթեմած են երկու տարրեր չընապեսած կավային բնաշաղերի սովոր ուղղակիության արդյունքները միաշափ և զգման ժամանակի

Յուրաքանչյուր բնաշափի չերմառադրի բնութագիրը որոշված է երկու, միմյանց սուսադող՝ [2] և [3] եղանակներով: Ապացուցված է, որ երկու եղանակներն էլ լրիդ պիտանի են չընապեսած կավային բնաշաղերի չերմառադրի ուղղակիության համար: Հաստատված է, որ բնաշափի չերմառադրնի աճը  $T = 14^{\circ}\text{C}$ -ից մինչև  $40^{\circ}\text{C}$  թերում է մինչև  $70\%$  սովոր զեփորմացիայի մեծացման: Հաստատված է նաև, որ յարման ֆոնկցիան՝  $F(z_1)$  չերմառադրնից կախված չէ:

Ամերակիանական և ասովի ժառանգականության տեսությունները փոփոխական լարումների և չերմառադրների ժամանակ լավ են գրանցում չերմառադրի ընթացքը: Խոկ «Ճերացման» տեսությունը՝ բավարար:

# INVESTIGATION ON COMPRESSION CREEP OF CLAY GROUNDS TAKING ACCOUNT OF THERMAL EFFECTS

R. R. GALSTIAN, S. R. MESCHIAN

## Summary

The results of investigation on the creep of two different water-saturated clay grounds at unidimensional condensation are presented. The characteristics of thermocreep of each ground are determined by two mutually monitoring methods (3) and (2).

Both methods are proved to be quite useful for investigation on thermocreep of water-saturated clay grounds. An increase in temperature of the ground from 14 to 40°C is found to cause an increase in deformation of creep up to 70%. The function of stresses  $F(z)$  is found to be independent of temperature.

The "consolidating" and "hereditary creep" theories are shown to describe the process of thermocreep at alternating stresses and temperatures quite well, while the "aging" theory-only satisfactorily.

## ЛИТЕРАТУРА

- Галстян Р. Р., Малакян Р. Н., Месчян С. Р. Исследование термоизменчивости водонасыщенного глинистого грунта при одномерном сжатии. Изв. АН Арм. ССР, Механика, т. 24, № 3, 1971.
- Галстян Р. Р., Месчян С. Р. Метод определения кривых компрессионной термоизменчивости. Изв. АН Арм. ССР, Механика, т. 24, № 1, 1971.
- Месчян С. Р. Плавучесть глинистых грунтов. Изд. АН Арм. ССР, Ереван, 1967.
- Вязов С. С., Гюшанский В. Г. и др. Прочность и плавучесть мерзлых грунтов и расчеты ледогрунтовых ограждений. Изд. АН СССР, М., 1962.
- Наместников В. С., Хвостунков А. А. Плавучесть диоралюминия при постоянных и переменных нагрузках. ПМТ, № 4, 1960.
- Ахназарян Н. Г., Миркиян Э. М., Месчян С. Р. О применимости теорий податливости для описания деформации скелета глинистого грунта при одномерном уплотнении. Изв. АН Арм. ССР, Механика, т. 21, № 3, 1968.